

有限要素法を用いた土構造物の変形解析

東北大学工学部 正 雅田義雄
○東北大学工学部 学 菅野 仁

1 まえがき 近年、構造物の大型化に伴い、地盤あるいは土構造物の変形性状を適確に評価する事の必要性が高まっている。この目的を達成するためには、土の物性を表現しうる合理的な構成式(応力-ひずみ関係式)が得られなければならない。このような背景のもとに土の物性についての研究がせんに行なわれ、またこれららの研究によて得られた成果を有限要素法に導入して実際的な問題へ適用しようとする試みもなされていふ。本研究もこの様な主旨に沿つたものであり、三軸試験結果に基づいて得られた構成式を有限要素法に適用し、土構造物の数値解析を試みた。

2 計算に用いた構成式 本研究において用いた構成式は、セシ断変形増分と圧縮変形増分の重ね合せを仮定して、一連の三軸試験結果から、降伏条件および塑性ボテンシャルをそれぞれ独立に与える事により得られたものである。

$$\text{セシ断に関して} \quad \text{降伏条件} \quad f_s = \gamma = \text{const} \quad \text{塑性ボテンシャル} \quad \psi_s = \gamma \eta_s + \ln p'$$

$$\text{圧縮に関して} \quad \text{降伏条件} = \text{塑性ボテンシャル} : f_c = \psi_c = p'$$

また硬化パラメタは、セシ断に関しては諸々の提唱可能なパラメタ S_{α} に基づいて、圧縮に関しては、等方圧縮試験で得られる圧縮指数および膨潤指数を用いて次の様に与えられる。

$$\text{セシ断に関して} \quad h_s = \alpha \eta_s^2 / (\eta_s - \eta)^2, \quad \text{圧縮に関して} \quad h_c = (\lambda - \eta) / p'$$

以上のように式を用いて塑性ひずみ増分は、セシ断、圧縮それぞれの成分について次の様に求められる。

$$\{d\epsilon_s\}^p = h_s \{d\eta_s / \eta\} d\eta_s = [D_s^p] \{d\eta\}, \quad \{d\epsilon_c\}^p = h_c \{d\eta_c / \eta\} d\eta_c = [D_c^p] \{d\eta\}$$

塑性ひずみ増分は上記二つの成分の和で与えられ、これにさらに弾性ひずみ増分を重ね合わせれば、全ひずみ増分が得られる。すなわち、 $\{d\epsilon\} = \{d\epsilon^e\} + \{d\epsilon_s^p\} + \{d\epsilon_c^p\} = \{[D^e] + [D_s^p] + [D_c^p]\} \{d\eta\}$

$[D^e]$ はここでは Hook則に従つてゐる。また η は本来 $\eta = \eta_0 - \eta_0 / (p_0 + 2\sigma_0)$ で与えられるものであるが、本研究では平面ひずみ状態を解析するため $\eta = \sqrt{3J_2} / p'$ としている。 J_2 ：応力・二次不変量

3 供試体モデルの計算 上述の構成式

を有限要素法に導入し荷重増分法により、Fig.1

に示すような供試体のモデルを平面ひずみ状態のもとで計算した。計算は最初に、弾性体として $G_{\alpha} = G_e = 1.0 \text{ kg/cm}^2$ を与えて得られた

応力状態を初期値とした。以後、 $dG_{\alpha} = 0.167 \text{ kN}$

$dG^e = -0.0167, -0.0233, -0.030 \text{ kg/cm}^2$ の3ケースに

ついて、それぞれ30ステップで計算を行なつた。ここで η を減らさせたのは、応力

経路を三軸圧縮(側圧一定)試験経路に近づけ

るためである。この計算の結果得られた $\epsilon_1 - \epsilon_2$ および $\epsilon_1 - \epsilon_3$ 関係を Fig.2 に

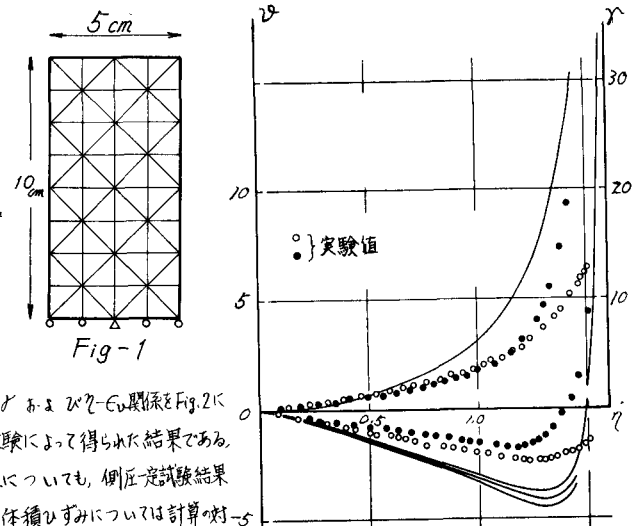
示した。図中にプロットされた点は側圧一定試験によって得られた結果である。

計算結果はセシ断ひずみ、体積ひずみいずれについても、側圧一定試験結果

に比べて大きめの値を与えている。このうち体積ひずみについては計算の特徴

としめたモデルの応力経路と側圧一定試験の応力経路の違いが起因しているも

のと思われる。すなわち、平面歪条件下では、載荷の進行に伴い中間主応力の値が増加するため、同様の応力比



に達するまでには、側圧一定試験の場合よりも η の増加量が大きいため η に依存する圧縮挙動が大きく左右される。計算で得られた最大圧縮率における体積ひすみおよび応力比をまとめたのがTable 1である。この表によれば $d\sigma_3$ が大きくなると η_{max} は減少し、実験値に近くものと考えられる。またセシ断ひすみについては Case 1 の計算結果のみ示してあるが他のケースもほぼ同じ曲線になり、応力比による一義的性を与えていている。セシ断ひすみが大きめの値を示す原因は、Hooke則によると考えられる弾性ひすみに起因している。しかし定性的には、これも側圧一定試験結果を再現しているものと考える事ができる。

4 フーチングの解析例 上述のようK圧縮とセシ断の重ね合わせを仮定した構成式を導入した有限要素解析は要素の挙動を少くとも定性的にはよく再現するようである。このように要素の挙動を再現する事のできる構成式を実際に考へられる多くの問題に適用し、その時得られる挙動について検討を加える事は意義のある事と思われる。ここではFig.3に示したようなフーチングの解析を行なう結果を一例として示す。図3には、計算の結果 $\eta > 1.0$ 以上の値を与えた要素を示している。また同時に、extended Von Mises 降伏条件に基づいた構成式を用いて計算した場合の降伏域も示している。これらはよく一致しており、いずれの構成式を用いても応力状態についてはほぼ一致した結果を与え、危険と判断される領域もほぼ同様である事が解る。Fig.4には、平均主応力 p' 分布を示した。Fig.4の分布はFig.5に示した体積ひすみ分布と対応してあり、体積ひすみは p' に支配されている事が知られる。これはFig.8に示した様に、ケイレタンシー成分よりも圧縮成分が卓越するためである。Fig.6にはセシ断ひすみ ϵ_c の分布を示した。この分布は応力比 η と対応しており、本報告には示さないが extended Von Misesモデルを用いた場合でも同様の分布が得られる。しかしFig.7に示したセシ断ひすみ増分の分布は高応力比域にむしろ対応せず、載荷面直下での p' の増加つまり圧縮挙動の卓越に起因した硬化が起こっている事を示しており、圧縮挙動を併せ考えるという目的は達成されている様である。

5 あとがき この様な圧縮挙動の卓越による硬化が実際にどの程度生ずるかについては観測データが手許にないため検討を加える事ができないが、たゞ、堤体の築堤過程をモデル化して計算した結果得られたFig.9に示す応力-ひすみ曲線は実験で測定で得られた応力経路から想定される応力-ひすみ曲線と傾向は同じである。築堤過程についてはこの構成式が与えるような圧縮挙動の卓越による硬化があるものと思われる。本研究において弾性ひすみの評価の問題、高応力比域における応力比一定経路を有する要素の評価等は今後の課題である。

末筆ながら 柳沢助教授の御指導に対し、深謝の意を表します。

第3回

参考文献 1) 飛田、柳沢、諸戸(1978)「砂の変形における応力経路依存性に関する考察」土壤工学会論文集

2) 松井(1978)「フレデムの土は盛土の設計と粒状体力学」土と基礎 Vol.26 p.69~

	ϵ_{12}	η
case 1	4.4 (%)	1.32
2	4.1	1.30
3	3.8	1.28
実験 1	1.8	1.18
2	2.4	1.24

Table. 最大圧縮率における体積ひすみと応力比

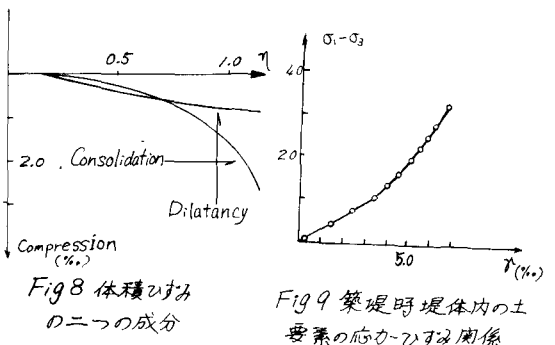
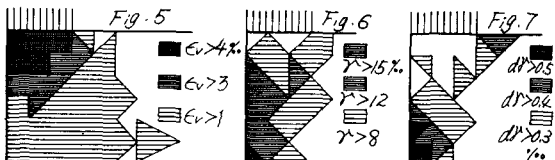
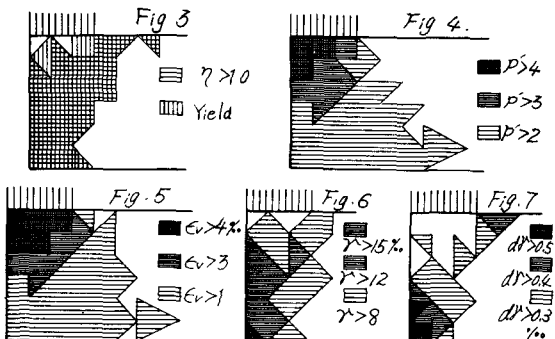


Fig.8 体積ひすみの二つの成分

Fig.9 築堤時堤体内の土要素の応力-ひすみ関係